

FIG. 1

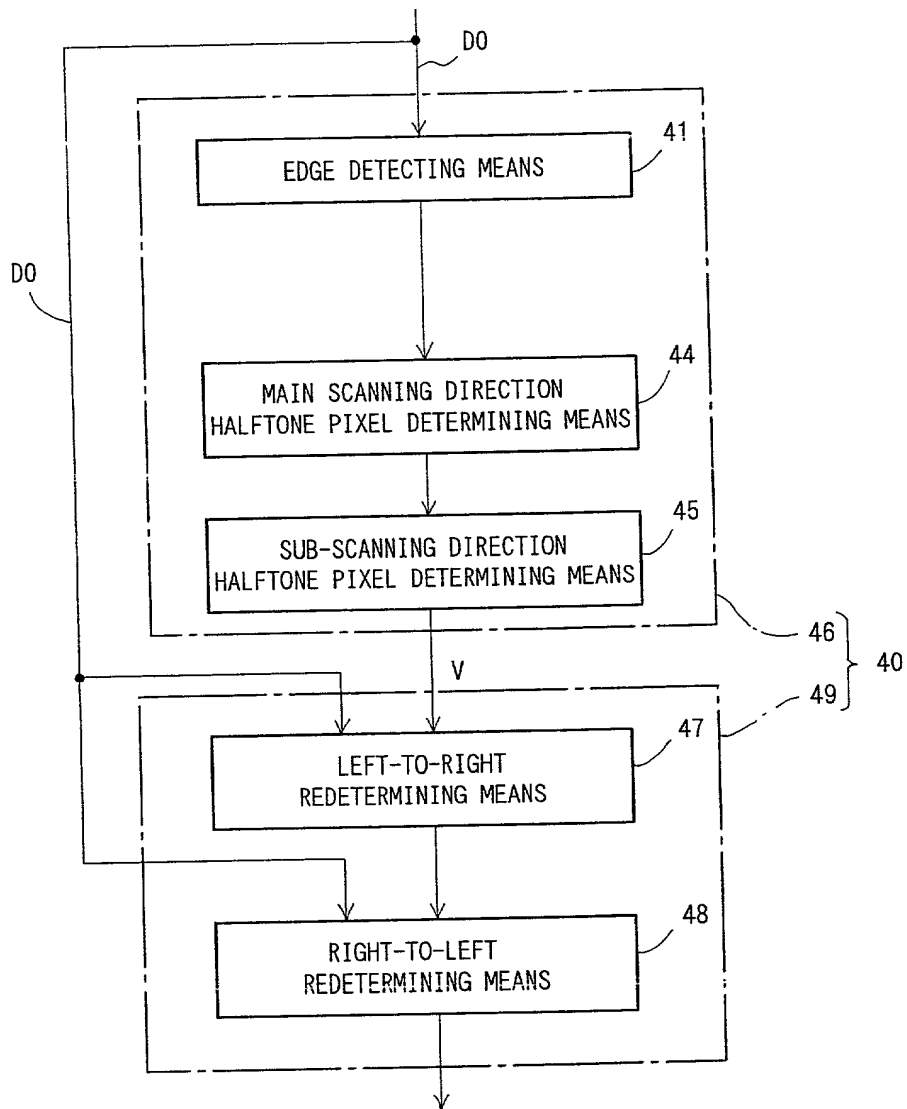


FIG. 2

FIG.3A

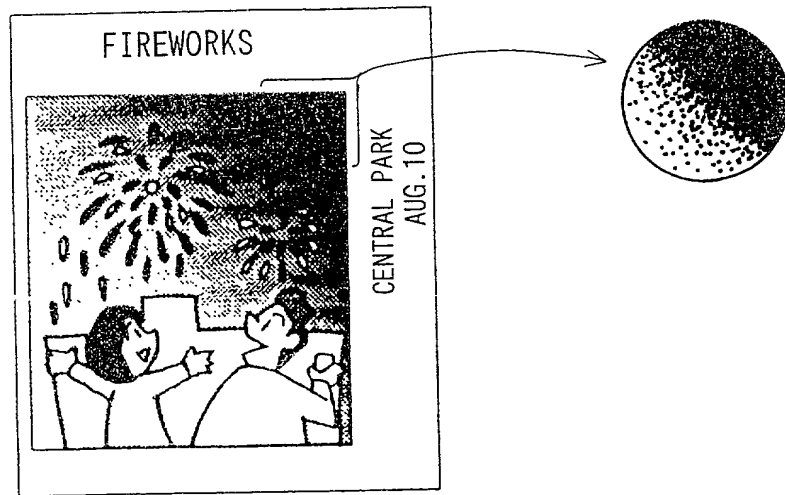


FIG.3B

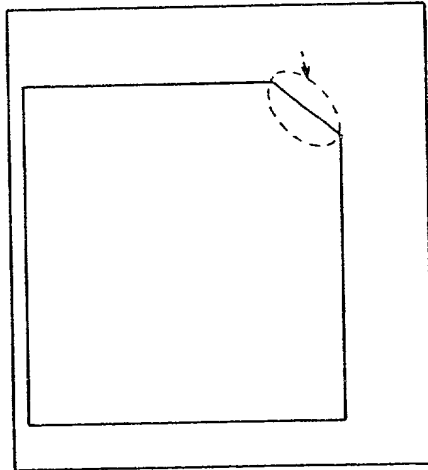
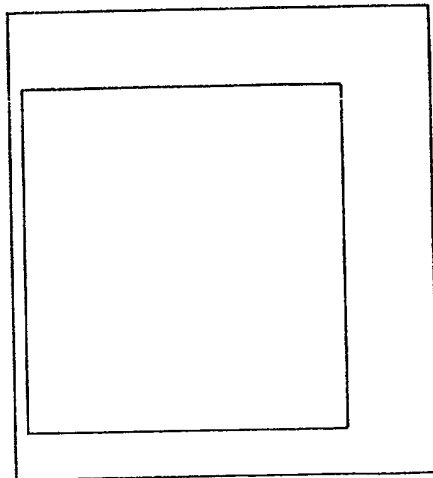
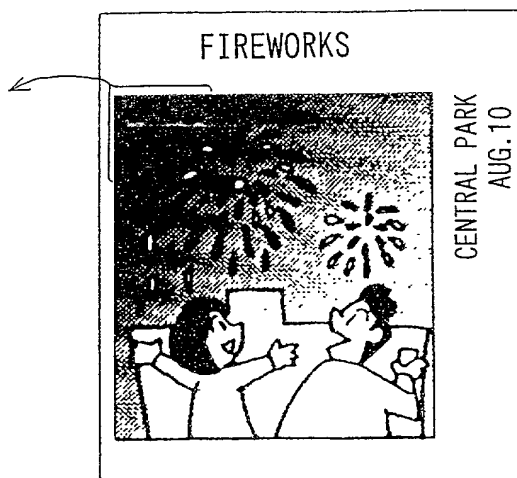
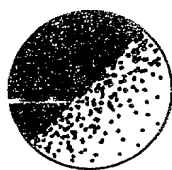


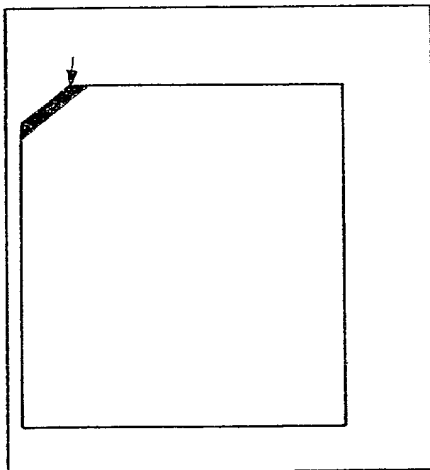
FIG.3C



F I G . 4 A



F I G . 4 B



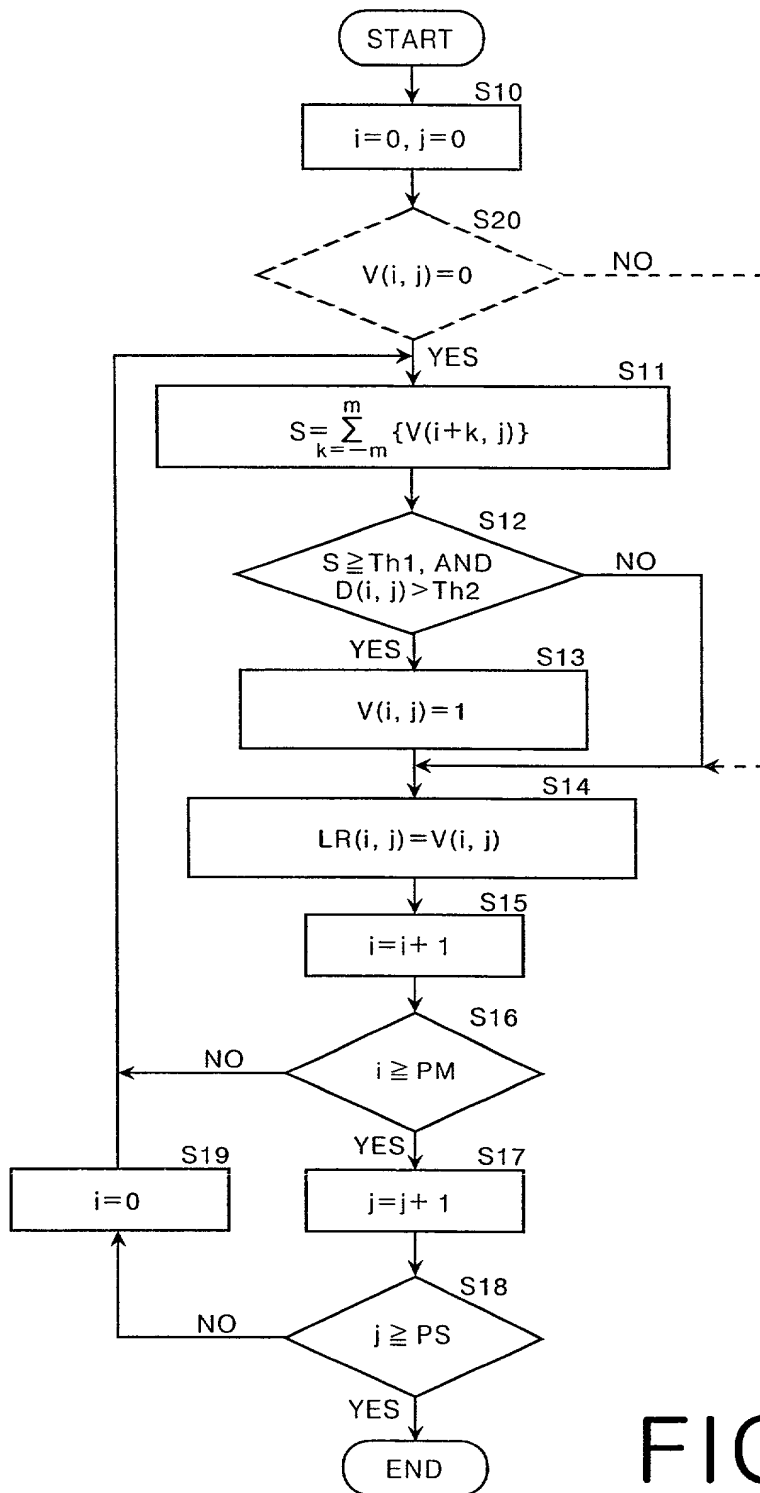
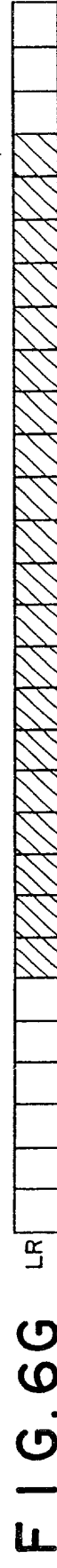
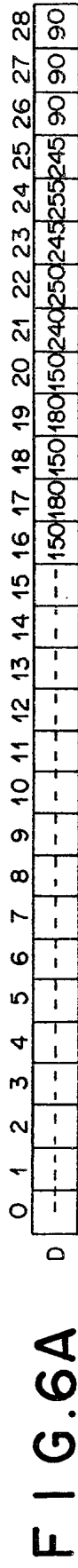


FIG.5

—→ MAIN SCANNING



→ MAIN SCANNING

0	1	2	3	4	5	6	7	8	9	10	11	12	13	14	15	16	17	18	19	20	21	22	23	24	25	26	27	28
90	90	245	255	245	250	240	150	180	150	180	150	180	150	180	150	180	150	180	150	180	150	180	150	180	150	180	150	180
D																												

FIG. 7A

FIG. 7B



FIG. 7C



FIG. 7D



FIG. 7E



FIG. 7F



FIG. 7G



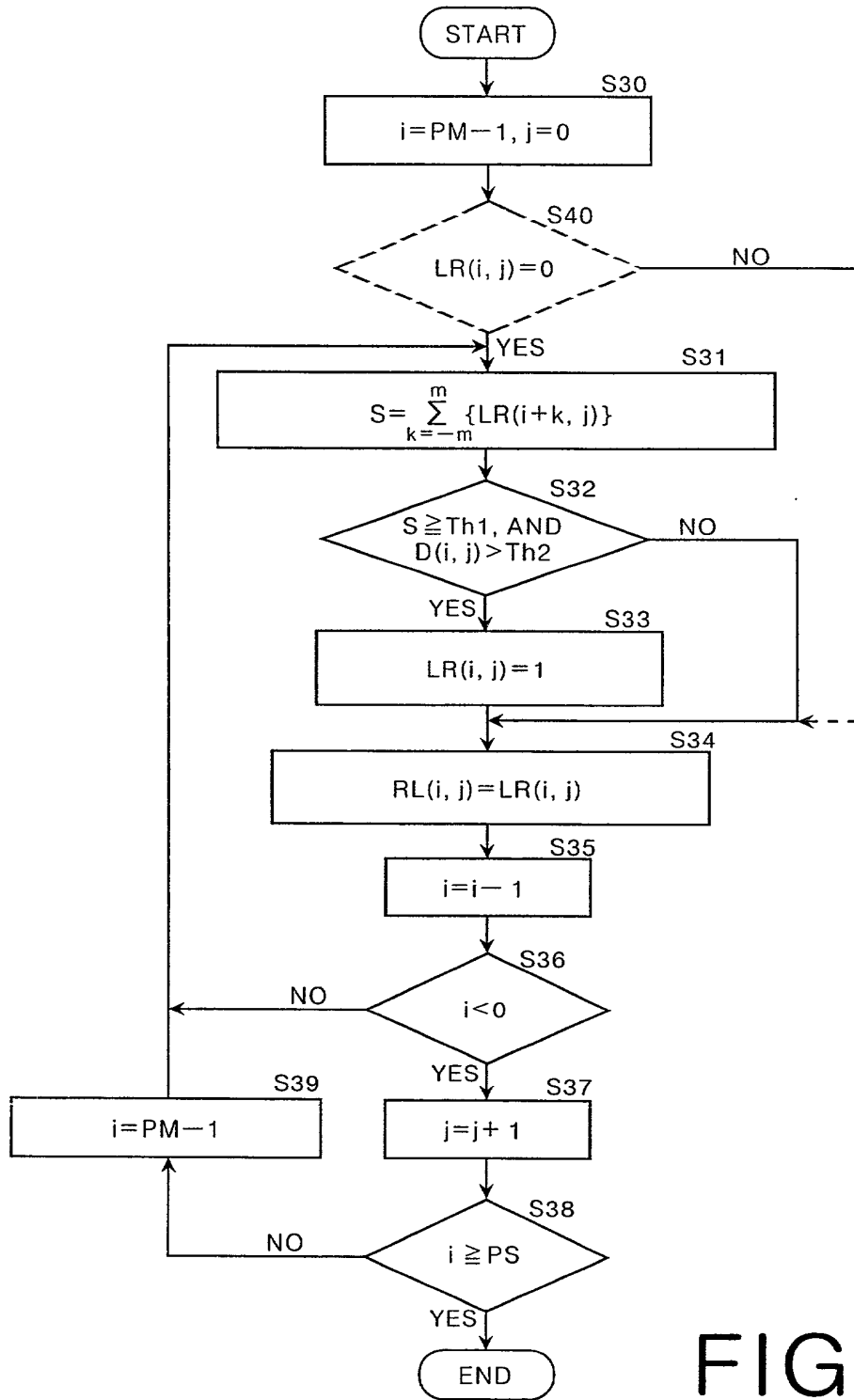
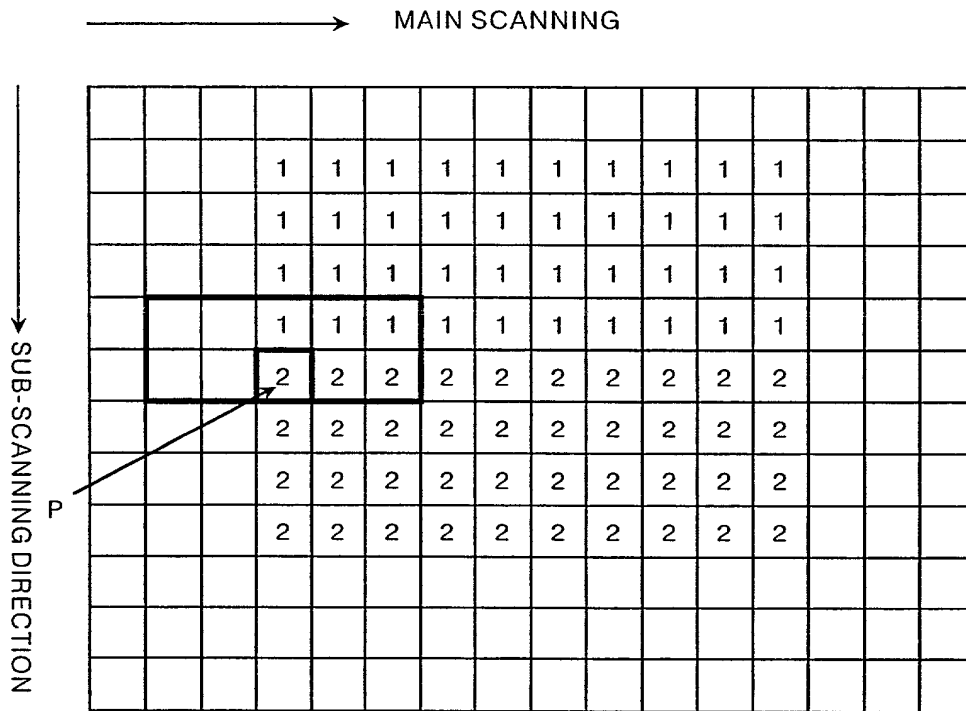


FIG.8

FIG.9

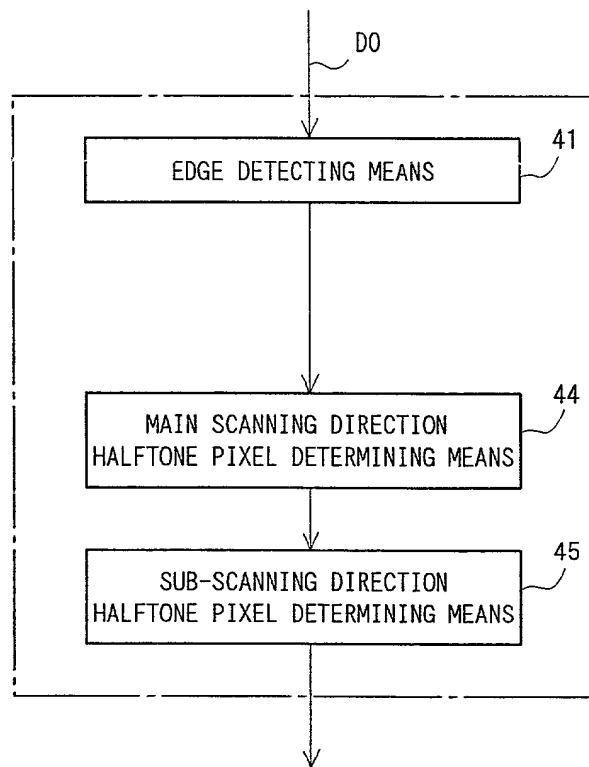


109821095 10330001

Abstract



09001096 0000



P R I O R A R T

F I G . 11